

基于知识图谱嵌入的阿尔茨海默病药物重定位

摘要

阿尔茨海默病是一种起病隐匿、多因素、进行性神经退行性疾病，痴呆表现为主要特征，给社会带来巨大医疗负担，但目前还没有特效药物。然而，传统的药物开发存在成本高周期长等问题，且药物安全性需要大量的时间验证，而药物重定位能够极大的缓解上面问题。本文采用知识图谱嵌入研究阿尔茨海默病的药物重定位。首先，利用 4 种知识嵌入模型对知识图谱进行表示学习；其次，通过评估知识图谱嵌入模型在测试集的性能，选择 RotatE 模型作为药物重定位模型；最后，利用知识图谱嵌入模型进行链接预测得出 10 种治疗阿尔茨海默病的候选药物。除此之外，我们还通过对实体和关系进行多种嵌入分析和查阅文献的方法证明了本文的研究方法能够有效的预测治疗阿尔茨海默病的药物，为研究人员提供了新的研究方法。本文的源代码可以从 <https://github.com/LuYF-Lemon-love/AD-KGE> 获得。

关键词：药物重定位；阿尔茨海默病；知识图谱；知识图谱嵌入；知识图谱补全

1. 引言

阿尔茨海默病（Alzheimer's disease, AD）是一种常见的神经退行性疾病，无法治愈且不可逆转^[1]，其特征是伴有神经精神症状的渐进性严重痴呆^[2]。中国阿尔茨海默病报告 2021 显示我国 60 岁及以上人群中有 983 万例 AD 患者^[3]，并且另一份研究报告称，我国 AD 患者的治疗费到 2050 年将高达 18871.8 亿美元^[4]，这充分说明了 AD 给社会带来了巨大的经济负担。因此，AD 的治疗药物开发势在必行。然而，早在 2015 年，开发一种新药就需要花费 26 亿美元和 10-12 年^[5-6]。药物重定位是指将现有药物的适应症拓宽到其他疾病，从而能大大节省成本并缩短新药开发周期。

知识图谱（Knowledge Graph, KG）是一种基于拓扑结构图存储知识的数据库，主要用于网页搜索、问答系统、推荐任务^[7]。知识中的具体事物和抽象概念在 KG 中被表示为实体，实体之间的联系被表示为关系，进而知识被表示成格式为（头实体，关系，尾实体）的三元组。KG 是一个由大量的三元组组成的有向图结构，图中的节点代表实体，边表示实体间的关系。

然而，许多 KG 都非常巨大，如药物再利用知识图谱（Drug Repurposing Knowledge Graph, DRKG）^[8]包含 97238 个实体和 5874261 个三元组。如此巨大的 KG，直接像关系数据库一样进行检索和多步推理非常耗时，无法达到现代应用的要求^[9]。而且知识图谱具有非常严重的长尾现象，有很多实体与其他实体间仅仅具有很少的关系，对于这些长尾实体，往往很难理解其含义，进而影响对其的推理^[9]。因此，如何表示 KG 是一个近些年热门的领域。

KG 通常被标记为 T ，是一组格式为 (h, r, t) 三元组的集合，其中 $h, t \in E$, $r \in R$, E 是 KG 中的实体集合， R 是 KG 中的关系集合。知识图谱嵌入（Knowledge Graph Embedding, KGE）是一种将实体和关系表示成低维稠密向量的技术，进而 KG 被建模成低维向量空间，在这个向量空间内，头实体 h 和尾实体 t 是一个单独的向量，每个关系 r 是头实体 h 和尾实体 t 间

的一个运算操作。

在过去几年中，研究人员提出了很多 KGE 模型来学习实体和关系嵌入向量，本文仅介绍和利用一些线性时间复杂度算法，如 TransE^[10]、DistMult^[11]、ComplEx^[12]、RotatE^[13]。KGE 模型能够利用各自对应的模型假设进行链接预测进而推测三元组中缺失的实体，因此，KGE 模型能够用于药物重定位研究。

TransE^[10]是一个具有代表性的平移模型，它假设实体和关系属于同一向量空间，关系 r 被建模为实体向量的平移，如果三元组 (h, r, t) 成立，那么 $h + r \approx t$ ，即 t 应该是 $h + r$ 最近的实体向量；如果不成立， $h + r$ 应该远离 t 。图 1 展示了如何使用 TransE 模型进行 AD 药物重定位。药物实体、AD 实体和治疗关系都被表示成了嵌入空间中的一个向量，已经存在治疗其他疾病的药物用黄色胶囊表示，是头实体 h ；绿色和红色胶囊表示模型推测的初始治疗 AD 药物候选列表，是 $h + r$ ；TransE 模型仅仅选择离 AD 实体距离最近的 N 种药物作为最终推荐药物，因此两个绿色胶囊表示的药物就是重定位得出的药物。

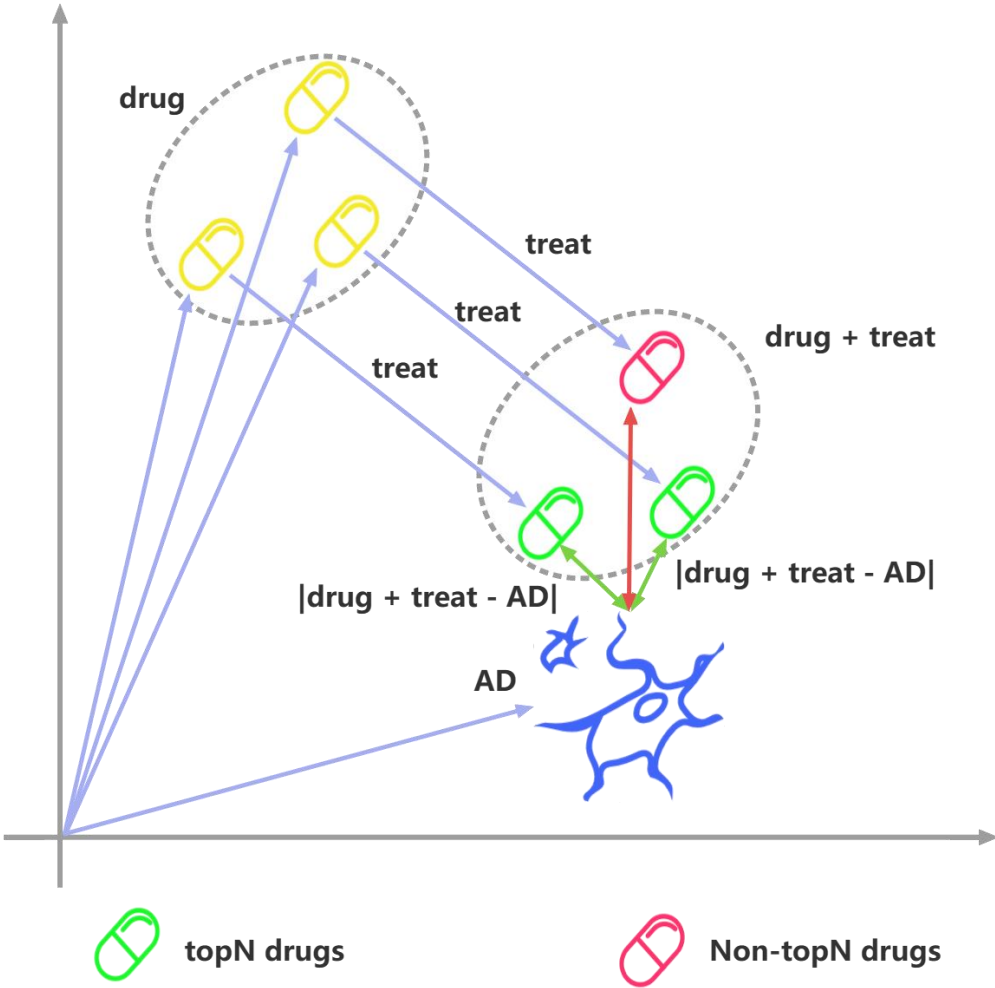


Figure 1 AD drug repurposing using TransE.

最近，研究人员提出了很多利用知识图谱进行药物重定位的方法。Zeng 等^[14]建立了一个 1500 万个三元组的综合知识图谱，包括药物、基因、疾病、药物副作用 4 种实体以及它们之间的 39 种关系，然后利用 RotatE 模型学习实体和关系的表示，进而确定了 41 种针对

COVID-19 的治疗药物。Zhang 等^[15]提出了一种基于神经网络和文献发现的方法，首先利用 PubMed 和其他专注 COVID-19 的研究文献构建了一个生物医学知识图谱，然后利用多种 KGE 模型预测 COVID-19 的候选治疗药物，并利用发现模式解释了 KGE 预测的合理性。目前也有研究人员利用 KGE 模型研究帕金森病的药物重定位，并取得了不错的效果^[16]。

Wang 等^[6]提出了一种基于知识图谱的深度学习方法进行 AD 药物重定位。首先，利用 DistMult^[11]模型学习了预先构建的阳性药物靶点对知识图谱的实体和关系的嵌入表示，然后利用一个 Conv-Conv 模块来提取药物-靶点对的特征，提取到的特征被传入到一个全连接网络进行二分类，最终通过载脂蛋白 E 作为靶点寻找治疗 AD 的药物。Nian 等^[1]从文献中构建一个知识图谱，利用 TransE，DistMult 和 ComplEx 学习并预测有助于 AD 治疗或预防的候选物质，以研究 AD 与化学物质，药物和膳食补充剂之间的关系，进而确定预防或延缓神经退行性进展的机会。

本文采用 KGE 模型研究了 AD 药物重定位。首先，利用多种 KGE 模型（TransE、DistMult、ComplEx 和 RotatE）在 DRKG 上学习实体和关系的嵌入向量，通过 3 种经典的知识图谱嵌入评价指标选择 RotatE 模型作为我们最终的药物重定位模型；然后，在整个知识图谱上重新训练 RotatE 模型，并利用多种嵌入向量分析手段评估模型学习到的嵌入向量的质量；最终，通过链接预测技术找到 10 种治疗 AD 的候选药物。

2. 方法

2.1. 数据

DRKG^[8]是一个涉及基因、药物、疾病、生物过程、副作用和症状的综合生物知识图谱，包括来自 DrugBank、Hetionet、GNBR、String、IntAct 和 DGIdb 等六个现有数据库的信息，以及从最近发表的 Covid19 出版物中收集的数据。它有属于 13 种实体类型的 97238 个实体；以及属于 107 种关系类型的 5874261 个三元组。DRKG 使用实体类型::ID 的格式表示实体，如 Disease::MESH:D000544，其中 Disease 是实体类型，MESH:D000544 是 MESH ID；使用数据源名::关系名::头实体类型:尾实体类型的格式表示关系，如 DRUGBANK::treats::Compound:Disease，其中 DRUGBANK 是数据源名，treats 是关系名，Compound 是头实体类型，Disease 是尾实体类型。

2.2. 知识图谱嵌入模型

2.2.1. 基本原理

KGE 是一个通过概率推断现有 KG 缺失关系进而补全 KG 的任务。近几年研究人员已经提出了很多 KGE 模型，它们都具有一个度量 (h, r, t) 成立的概率的评分函数。

TransE^[10]是一个具有代表性的平移模型，它假设实体和关系属于同一向量空间 \mathbb{R}^d ， d 是向量空间的维度。关系 r 被建模为实体向量的平移，如果三元组 (h, r, t) 成立，那么 $h + r \approx t$ ，即 t 应该是 $h + r$ 最近的实体向量；如果不成立， $h + r$ 应该远离 t 。TransE 的评分函数是 $-||h + r - t||_{L_1/L_2}$ ，只能建模 1 对 1 的关系类型；但是从另一种分类角度，它能捕获反对

称、反转和组成三种关系但不能捕获对称关系^[13]。

$\text{DistMult}^{[11]}$ 是一个双线性模型，它为每一种关系提供了一个对角方阵来建模实体之间的交互进而捕获 KG 的潜在语义。它也假设实体和关系属于同一向量空间 \mathbb{R}^d ，评分函数为 $h^T \text{diag}(r)t$ 。

由于 $\text{DistMult}^{[11]}$ 使用的是对角方阵，因此仅仅能捕获对称关系。为了捕获反对称和反转关系， $\text{Complex}^{[12]}$ 将向量空间从实数域扩展到复数域，极大的提升了模型的表现能力。它假设实体和关系属于同一复数向量空间 \mathbb{C}^d ，评分函数为 $\text{Real}(h^T \text{diag}(r)\bar{t})$ 。

受到 TransE 和欧拉恒等式的启发， $\text{RotatE}^{[13]}$ 将头实体和尾实体映射到复数向量空间，即当 $h, t \in \mathbb{C}^d, r \in \mathbb{C}^d, |r_i| = 1$ ，将关系 r 建模为从头实体 h 到尾实体 t 的逐元素旋转。 RotatE 模型能够捕获对称、反对称、反转和组成四种类型关系，评分函数为 $-||h \circ r - t||^2$ 。

2.2.2. 优化

在后续的实验中，我们都是使用最大间隔方法训练模型，这将最小化正确三元组的排名^[10]，损失函数如下：

$$\mathcal{L} = \sum_{(h, r, t) \in T} \sum_{(h', r, t') \in T^-} \max(0, \gamma - f(h, r, t) + f(h', r, t'))$$

其中， $\gamma > 0$ 是正负例三元组得分的间隔距离。 T 是正例三元组集合， T^- 是负三元组的集合，它是通过破坏原有三元组中的实体和关系得到的：

$$T^- = E \times R \times E - T$$

2.3. KGE 模型的评估

2.3.1. 经典评估

KGE 模型可以通过链接预测技术预测 KG 中缺失的三元组，即给定 $(h, r, ?)$ 预测缺失的尾实体 t ，或者给定 $(?, r, t)$ 预测缺失的头实体 h 。可以通过链接预测给出正确实体的排名。为了评估 KGE 模型的性能，我们使用三种经典指标：正确实体评分函数的平均排名（Mean Rank, $\text{MR}^{[10]}$ ），正确实体评分函数的平均倒数排名（Mean Reciprocal Rank, $\text{MRR}^{[13]}$ ）和正确实体评分函数的前 N 的比例即前 N 命中率 $\text{Hits@N}^{[10]}$ （ $N = 1, 3, 10$ ）。MRR 和 Hits@N 都是越高越好，MR 越低越好。

如果我们用 rank_h 和 rank_t 分别表示预测正确头实体和尾实体的排名， T 表示需要评估的三元组集合，那么 MR 具体的计算方法为：

$$\text{MR} = \frac{1}{2|T|} \sum_{(h, r, t) \in T} \text{rank}_h + \text{rank}_t$$

MRR 具体计算方法为：

$$MRR = \frac{1}{2|T|} \sum_{(h, r, t) \in T} \frac{1}{\text{rank}_h} + \frac{1}{\text{rank}_t}$$

Hits@N 被计算为

$$\text{Hits@N} = \frac{1}{2|T|} \sum_{(h, r, t) \in T} I[\text{rank}_h \leq N] + I[\text{rank}_t \leq N]$$

其中如果条件为真， $I[*]$ 等于 1，否则等于 0。

2.3.2. 嵌入评估

由于 DRKG 结合了来自不同数据源的信息，我们希望验证使用 KGE 模型可以生成有意义的实体和关系嵌入。

采用 t-SNE^[17] 将关系嵌入向量降维和可视化处理；由于实体的数量众多，直接利用 t-SNE 降维和可视化处理会引入很多噪声，因此我们首先使用主成分分析（Principal component analysis, PCA）将其降维到 30，然后再利用 t-SNE 将其降维到 2D 空间并进行可视化处理；除此之外，还使用余弦距离计算关系嵌入向量间的相似度，并输出了相似度得分分布的直方图、关系对余弦相似度最高分值、余弦相似度分值最高的治疗关系。

为了进一步分析 KGE 模型学习到的关系嵌入向量的差异性，我们还分析了不同关系类型之间在链接预测时的相似程度，对于种子头实体 h_i ，用链接预测找到关系 r_j 下最可能成立的前 10 尾实体，然后对关系 r_j 重复上述工作，并计算关系 r_j 和 r_j 的前 10 尾实体集合的 Jaccard 相似系数^[8]。我们选择了 100 个随机头实体种子，然后报告了所有关系对的平均相似度。Jaccard 相似系数计算方法如下：

$$J_{E_1, E_2} = \frac{|E_1 \cap E_2|}{|E_1 \cup E_2|}$$

其中 $|*|$ 表示集合的基数， E_1, E_2 是两个关系对应的尾实体集合。

2.4. 药物重定位

在药物重定位任务中，将 Drugbank 中所有被 FDA 批准的药物作为候选药物（分子量 ≥ 250 道尔顿，共 8104 个），它们是头实体列表；选择 DRKG 中所有治疗关系作为链接预测的关系（DRUGBANK::treats::Compound:Disease，GNBR::T::Compound:Disease，Hetionet::CtD::Compound:Disease，其中 DRUGBANK::treats、GNBR::T、Hetionet::CtD 分别是 DrugBank 数据库、GNBR 数据库、Hetionet 数据库的治疗关系）；选择 DRKG 中所有 AD 实体作为尾实体列表（Disease::DOID:10652，Disease::MESH:C536599，Disease::MESH:D000544），Disease::DOID:10652 是来自 Hetionet 数据源的 AD 实体，Disease::MESH:C536599 和 Disease::MESH:D000544 是被映射到 MESH ID 的 AD 实体，其中 Disease::MESH:C536599 是无神经纤维缠结的 AD；将上面实体和关系列表进行格式为 (h,r,t) 排列组合（总共 $3 \times 3 \times 8104 = 72936$ 种可能），然后计算所有组合评分函数的评分，最后选择评分前 N 的药物作为初步 AD 的治疗药物，N 根据 KGE 模型的 MR 指标选择。

2.5. 实验设置

我们选择 DRKG 作为数据，将它的三元组按照 90%、5%、5% 的比例划分为训练集、验证集和测试集，分别为 5286834 个，293713 个和 293714 个。

我们综合上面 5 个指标的表现，在验证集上利用网格搜索所有模型的超参数（TransE_l1、TransE_l2、DistMult、ComplEx 和 RotatE），所有模型的训练批次大小 `batch_size` 和负采样大小 `neg_sample_size` 分别固定为 4096 和 256，从 {0.01, 0.05, 0.1} 中选择学习率 lr ；由于 RotatE 模型实体维度是超参数嵌入维度 `hidden_dim` 的 2 倍，因此将其嵌入维度固定为 200，从 {200, 400} 中选择其他模型的嵌入维度 `hidden_dim`；从 {6, 12, 18} 中选择 TransE_l1、TransE_l2 和 RotatE 的超参数 γ ，从 {50, 125, 200} 中选择 DistMult、ComplEx 的超参数 γ 。

本文的实验是利用 Zheng 等^[18]开发 DGL-KE 工具包实现的。

3. 结果

3.1. KGE 模型的经典评估

实验比较 4 种 KGE 模型在知识图谱补全任务中的性能。对于 MR 指标，TransE 模型两种变体分别取得了最优结果 60.83 和次优结果 62.64。对于 MRR 指标，ComplEx 模型取得了最优结果为 0.621，RotatE 模型次之为 0.614。对于 Hits@1 指标，ComplEx 模型取得了最优结果为 0.537，RotatE 模型次之为 0.515。对于 Hits@3 和 Hits@10，RotatE 模型取得了最优结果分别为 0.681、0.780，ComplEx 模型取得了次优结果分别为 0.673、0.768。表 1 列出了 KGE 模型测试集的结果。

Table 1 The evaluation results of the KGE model. The best results are in **bold** and the second best results are in underline.

Model	MRR	MR	Hits@1	Hits@3	Hits@10
TransE_l1	0.530	<u>62.64</u>	0.412	0.606	0.740
TransE_l2	0.437	60.83	0.302	0.515	0.693
DistMult	0.484	105.55	0.401	0.515	0.643
ComplEx	0.621	112.74	0.537	<u>0.673</u>	<u>0.768</u>
RotatE	<u>0.614</u>	63.51	<u>0.515</u>	0.681	0.780

表 2 列出了 KGE 的最优超参数，考虑到表 1 的结果，我们排除了 DistMult 模型，重新在整个 DRKG 上训练了其他模型用于本文后面的嵌入评估和药物重定位，选择表 2 的超参数作为模型的参数。

Table 2 The optimal hyperparameters of the KGE model.

Model	batch_size	neg_sample_size	hidden_dim	γ	lr
TransE_l1	4096	256	400	18	0.05
TransE_l2	4096	256	400	12	0.1
DistMult	4096	256	400	50	0.1
ComplEx	4096	256	400	50	0.1
RotatE	4096	256	200	18	0.05

3. 2. KGE 模型的嵌入评估

图 2 是 TransE_l1、TransE_l2、ComplEx 和 RotatE 的关系嵌入 2D 空间的可视化图，用不同颜色显示关系来自的数据来源，用蓝绿色箭头指出了药物重定位 3 种治疗关系。TransE_l1 和 TransE_l2 模型的关系嵌入向量出现同数据源聚集的现象，尤其 GNBR 数据源的关系；ComplEx 和 RotatE 模型的关系嵌入向量广泛的分布在 2D 的空间中，即便来自相同源数据集的关系都没有出现聚集的现象。因此，ComplEx 和 RotatE 模型学习到了各个关系间差异的结论。

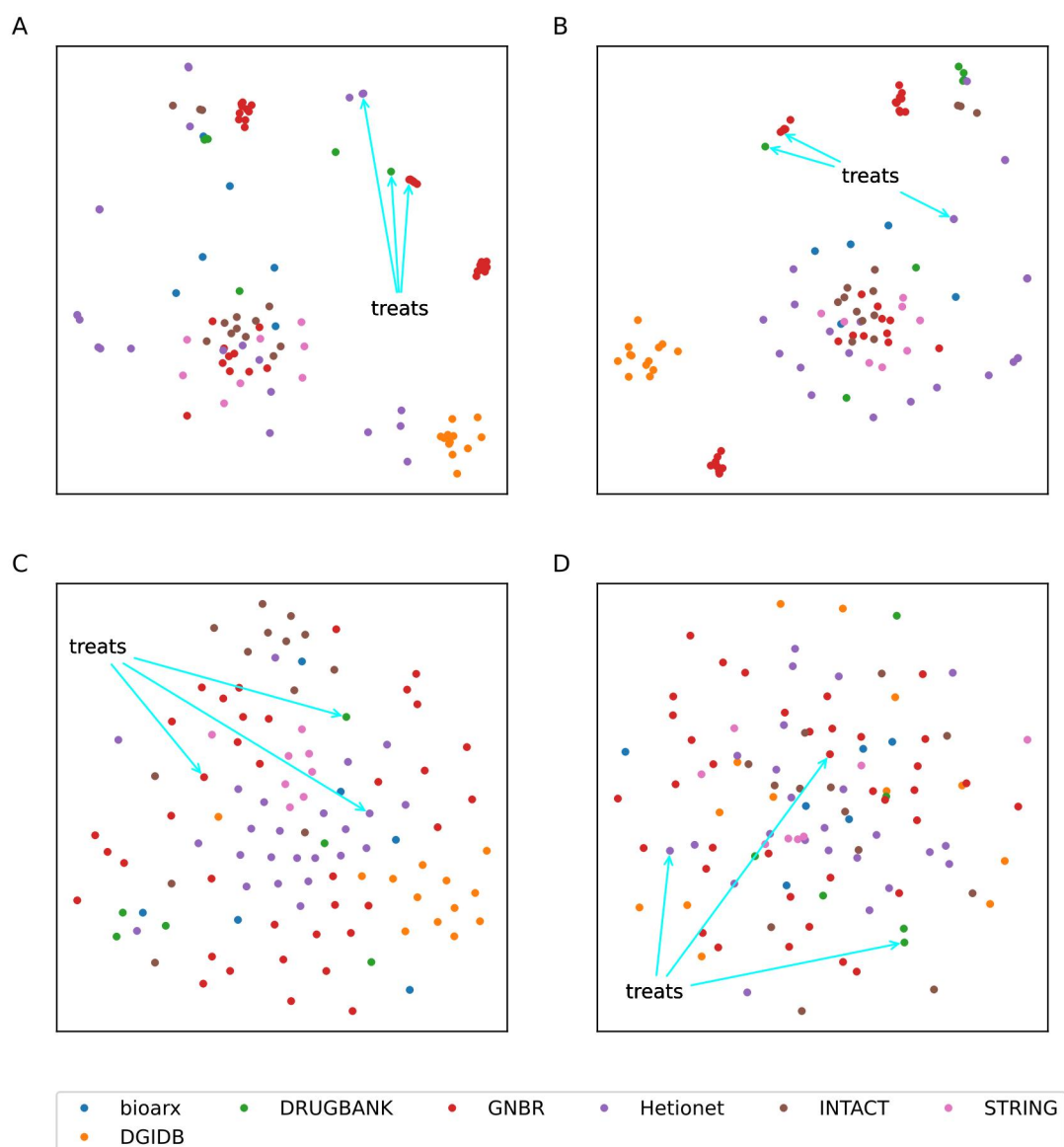


Figure 2 Distribution of relation embeddings in 2D euclidean space for 4 models. Subgraphs A, B, C and D are the results of TransE_I1, TransE_I2, ComplEx and RotatE respectively.

图 3 是 TransE_I1、TransE_I2、ComplEx 和 RotatE 的实体嵌入 2D 空间的可视化图，用不同的颜色表示不同的实体类型，用蓝色和蓝绿色箭头指出了药物重定位 3 种治疗关系，蓝色箭头指向的是 Disease::DOID:10652 实体，它是来自 Hetionet 数据源的 AD 实体。所有模型都可以观察到相同类别的实体正如我们期望的那样聚集到一起，但是 TransE_I1 和 RotatE 模型的结果要好于另外 2 个模型。TransE_I1、TransE_I2 和 RotatE 模型两种映射 MESH ID 空间的 AD 实体在图 3 中几乎重合，而 ComplEx 模型两种实体还有较大距离。4 个模型都将自 Hetionet 数据源的 AD 实体和另外两种 AD 实体区分开了。总体上各个模型还是学到实体类型信息。

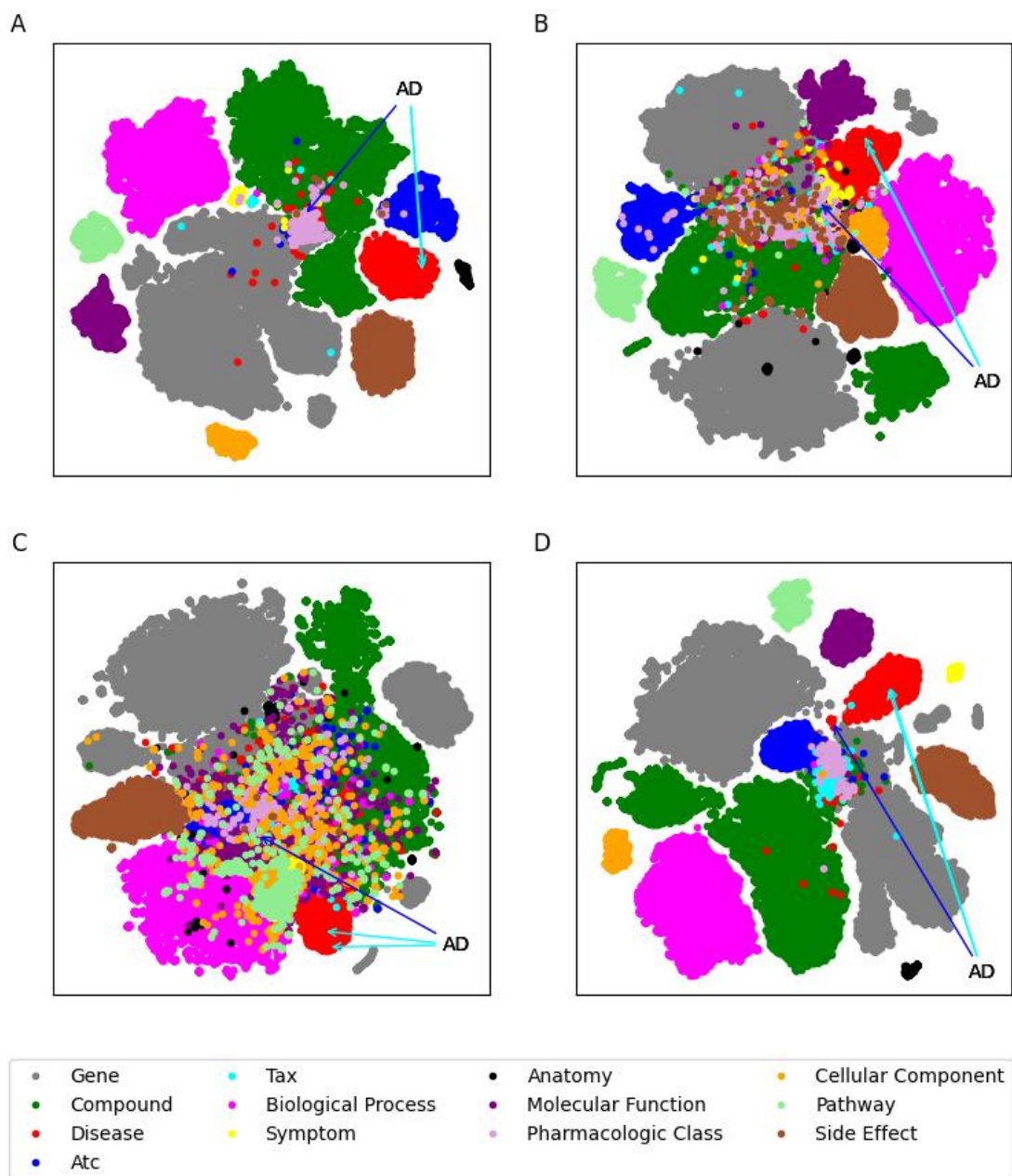


Figure 3 Distribution of entity embeddings in 2D euclidean space for 4 models. Subgraphs A, B, C and D are the results of TransE_I1, TransE_I2, ComplEx and RotatE respectively.

图 4 显示了 TransE_I1、TransE_I2、ComplEx 和 RotatE 的基于嵌入的不同关系类型之间的成对余弦相似性的详细分布。RotatE 模型的相似度区间最小，都小于 0.25。ComplEx 模型和 RotatE 模型取得了相似的结果，但是有少量高相似度长尾值。TransE_I1 和 TransE_I2 模型的相似度区间非常大（0-1），而且有很多相似度接近于 1 的关系对。

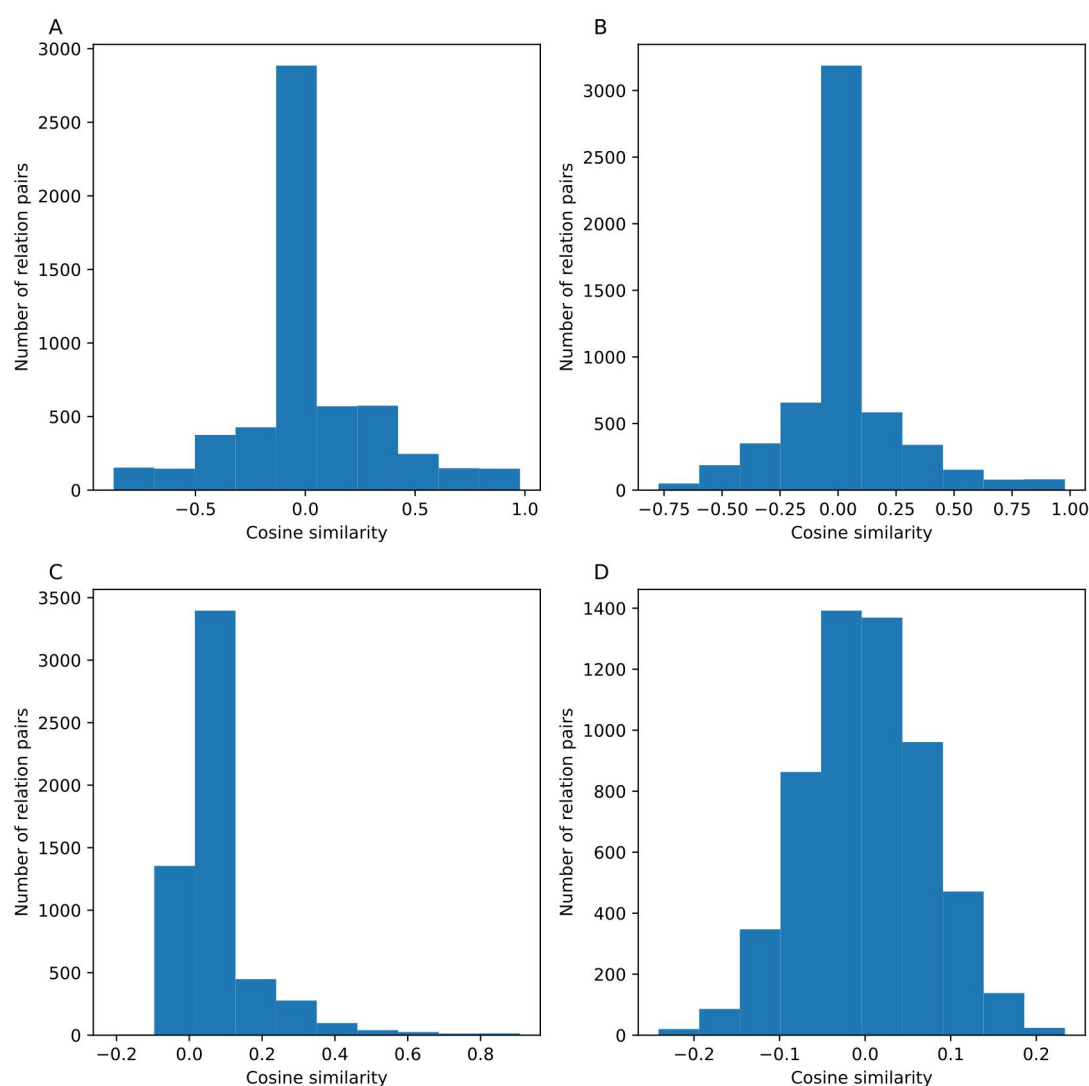


Figure 4 Histogram of cosine similarity between relations for 4 models. Subgraphs A, B, C and D are the results of TransE_I1, TransE_I2, ComplEx and RotatE respectively.

表 3 列出 4 个模型关系对余弦相似度最高分值，余弦相似度分值最高的治疗关系。ComplEx、TransE_I1 和 TransE_I2 模型的关系对相似度最高值都高于 0.9，而 RotaE 的最高值 0.2335 小于 0.25，与图 4 的结果相互印证。4 个模型的余弦相似度分值最高的治疗关系与各个模型关系对余弦相似度最高分值都有很大差距，尤其 ComplEx 模型。其中 ComplEx 模型治疗关系相似度得分最高的关系对正好是 DRUGBANK::treats::Compound:Disease 和 GNBR::T::Compound:Disease。ComplEx 和 RotatE 模型能够很好的将治疗关系和其他类型的关系区分开。

Table 3 Cosine similarity between relation-type pairs based on their embeddings for 4 models .

Model	Highest similarity score	Highest similarity score of the three treatment relations	Name of the highest similarity score treatment relation
TransE_I1	0.9774	0.9175	GNBR::T::Compound:Disease

TransE_l2	0.9778	0.8410	GNBR::T::Compound:Disease
ComplEx	0.9083	0.5538	DRUGBANK::treats::Compound:Disease, GNBR::T::Compound:Disease
RotatE	0.2335	0.1798	Hetionet::CtD::Compound:Disease

表 4 列出了 4 个模型关系对基于链接预测相似度最高分值，基于链接预测相似度分值最高的治疗关系。4 个模型的基于链接预测相似度最高的治疗关系与各个模型关系对基于链接预测相似度最高分值都有很大差距。其中 ComplEx 和 RotatE 模型治疗关系相似度得分最高的关系对正好是 DRUGBANK::treats::Compound:Disease 和 GNBR::T::Compound:Disease。4 个模型能够很好的将治疗关系和其他类型的关系区分开。

Table 4 Jaccard similarity coefficient between relation-type pairs based on their link recommendation similarity for 4 models .

Model	Highest score	Highest score of the three treatment relations	Name of the highest score treatment relation
TransE_l1	0.7266	0.3986	Hetionet::CtD::Compound:Disease
TransE_l2	0.8446	0.5345	GNBR::T::Compound:Disease
ComplEx	0.4037	0.1164	DRUGBANK::treats::Compound:Disease, GNBR::T::Compound:Disease
RotatE	0.6095	0.2401	DRUGBANK::treats::Compound:Disease, GNBR::T::Compound:Disease

3.3. AD 药物重定位

我们使用上面重新训练的 TransE_l1、TransE_l2、ComplEx 和 RotatE 进行药物重定位，考虑上面几种模型的 MR 结果（TransE_l1: 62.64, TransE_l2: 60.83, ComplEx: 112.74, RotatE: 63.51），所以 TransE_l1、TransE_l2、ComplEx 和 RotatE 分别选择评分前 50、前 50、前 100、前 50 的药物作为初步的候选药物。

表 5 列出各个模型评分前 10 且不是 DRKG 已经存在的治疗 AD 的药物列表。TransE_l1、TransE_l2、ComplEx 和 RotatE 评分前 10 的药物分别只有 1 种、4 种、1 种、1 种不是 DRKG 已经存在的治疗 AD 的药物，且所有排名都大于 5。7 种候选药物仅仅只有胆固醇没有找到治疗 AD 的支撑文献。

Table 5 The Top10 recommended results of each model which are not DRKG's existing drugs for the treatment of AD. Drugs with supporting literature are shown in bold.

Model	Ranking of predicted results in the model	Drug name
TransE_l1	9	Quercetin

TransE_l2	6	Cholesterol
	7	Glucose
	8	Glutathione
	10	Cisplatin
ComplEx	8	Paroxetine
RotatE	9	Glutathione

各个模型的候选药物列表排除了 DRKG 中原有的治疗 AD 的药物，TransE_l1、TransE_l2、ComplEx 和 RotatE 分别剩余了 19 种、24 种、34 种、17 种治疗药物。

将上面 4 个模型得到的候选药物集合求交集，结果显示在表 6 中。

Table 6 Overlap of prediction results of four models. Drugs with supporting literature are shown in bold.

List of drugs for set intersection	Drug name
TransE_l1_top50 and TransE_l2_top50	Estradiol, Testosterone, Glucose , Chlorpromazine, Quercetin , Cholesterol, Verapamil, Glutathione , Morphine, Cocaine, Clozapine
TransE_l1_top50 and ComplEx_top100	Clozapine, Verapamil, Methotrexate
TransE_l1_top50 and RotatE_top50	Estradiol, Glucose, Quercetin , Cholesterol, Glutathione, Capsaicin , Cocaine
TransE_l2_top50 and ComplEx_top100	Methylprednisolone, Clozapine, Verapamil
TransE_l2_top50 and RotatE_top50	Estradiol, Glucose, Quercetin , Cholesterol, Glutathione , Cocaine, Paclitaxel, Haloperidol
ComplEx_top100 and RotatE_top50	Paroxetine, Glyburide
TransE_l1_top50 and TransE_l2_top50 and ComplEx_top100	Clozapine, Verapamil
TransE_l1_top50 and TransE_l2_top50 and RotatE_top50	Estradiol, Glucose, Quercetin , Cholesterol, Glutathione , Cocaine
TransE_l1_top50 and ComplEx_top100 and rotatE_top50	None
TransE_l2_top50 and ComplEx_top100 and rotatE_top50	None

表 7 列出了上述药物重定位实验中有支撑文献的药物。

Drug name	Literature support
Glucose	Specifically, decreased O-GlcNAcylation levels by glucose deficiency alter mitochondrial functions and together contribute to Alzheimer's disease pathogenesis ^[19] .
Glutathione	The beneficial effect of many nutrients on the course of AD has been demonstrated. These include: glutathione, polyphenols, curcumin, coenzyme Q10, vitamins B6, B12, folic acid, unsaturated fatty acids, lecithin, UA, caffeine and some probiotic bacteria ^[20] .
Quercetin	Quercetin has demonstrated antioxidant, anti-inflammatory, hypoglycemic, and hypolipidemic activities, suggesting therapeutic potential against type 2 diabetes mellitus (T2DM) and Alzheimer's disease (AD) ^[21] .
Estradiol	Mounting evidence indicates that the neurosteroid estradiol (17 β -estradiol) plays a supporting role in neurogenesis, neuronal activity, and synaptic plasticity of AD. This effect may provide preventive and/or therapeutic approaches for AD ^[22] .
Verapamil	Verapamil Prevents Development of Cognitive Impairment in an Aged Mouse Model of Sporadic Alzheimer's Disease ^[23] .
Clozapine	Clozapine Improves Memory Impairment and Reduces A beta Level in the Tg-APPswe/PS1dE9 Mouse Model of Alzheimer's Disease ^[24] .
Testosterone	Animal models demonstrated that testosterone (T) exerted a neuroprotective effect reducing the production of amyloid-beta (A β), improving synaptic signaling, and counteracting neuronal death ^[25] .
Methotrexate	Anti-inflammatory methotrexate treatment reduced the incidence of Alzheimer's disease in high-risk individuals ^[26] .
Capsaicin	In Alzheimer's disease, capsaicin reduces neurodegeneration and memory impairment ^[27] .
Haloperidol	Haloperidol inactivates AMPK and reduces tau phosphorylation in a tau mouse model of Alzheimer's disease ^[28] .

Paclitaxel	In addition to NSAIDs, an anticancer drug, paclitaxel, has considerable potential as an AD treatment ^[29] .
Glyburide	Our findings suggest that a pharmacologic approach to inhibit galanin in the brain, either by glibenclamide or pioglitazone might dramatically improve symptoms in Alzheimer's disease ^[30] .
Paroxetine	Paroxetine ameliorates prodromal emotional dysfunction and late-onset memory deficit in Alzheimer's disease mice ^[31] .
Cisplatin	Cisplatin Inhibits the Formation of a Reactive Intermediate during Copper-Catalyzed Oxidation of Amyloid beta Peptide ^[32] .

4. 结论

本文采用 KGE 模型对 AD 进行了药物重定位。具体来说, 使用 4 种 KGE 模型在 DRKG 上学习实体和关系的嵌入向量, 通过评价指标选择了 RotatE 模型作为最终的药物重定位模型。实验结果表明, RotatE 模型能够预测出合理的 AD 治疗药物, 能够为研究人员进一步探索 AD 的治疗药物提供研究思路。

References

- [1] Nian Y,Hu XY,Zhang R,et al.Mining on Alzheimer's diseases related knowledge graph to identity potential AD-related semantic triples for drug repurposing[J].BMC Bioinformatics,2022,23(Suppl 6):407. <https://doi.org/10.1186/s12859-022-04934-1>.
- [2] Moya-Alvarado G,Gershoni-Emek N,Perlson E,et al.Neurodegeneration and Alzheimer's disease (AD).What can proteomics tell us about the Alzheimer's brain?[J].Molecular & Cellular Proteomics,2016,15(2):409-25. <https://doi.org/10.1074/mcp.R115.053330>.
- [3] Ren RJ,Yin P,Wang ZH,et al.China Alzheimer disease report 2021[J].Journal of Diagnostics Concepts & Practice(诊断学理论与实践),2021,20(04):317-337. <https://doi.org/10.16150/j.1671-2870.2021.04.001>.
- [4] Jia JP,Wei CB,Chen SQ,et al.The cost of Alzheimer's disease in China and re-estimation of costs worldwide[J].Alzheimer's & Dementia,2018,14(4):483-491. <https://doi.org/10.1016/j.jalz.2017.12.006>.
- [5] Avorn J.The \$2.6 billion pill—methodologic and policy considerations[J].New England Journal of Medicine,2015,372(20):1877-1879. <https://doi.org/10.1056/NEJMp1500848>.
- [6] Wang SD,Du ZZ,Ding M,et al.KG-DTI: a knowledge graph based deep learning method for

- drug-target interaction predictions and Alzheimer's disease drug repositions[J].Applied Intelligence,2022,52(1): 846–857. <https://doi.org/10.1007/s10489-021-02454-8>.
- [7] Lin YK,Shen SQ,Liu ZY,et al.Neural relation extraction with selective attention over instances[C]//Proceedings of the 54th Annual Meeting of the Association for Computational Linguistics (Volume 1: Long Papers).Berlin,Germany:Association for Computational Linguistics,2016:2124-2133. <https://aclanthology.org/P16-1200>.
- [8] Ioannidis VN,Song X,Manchanda S,et al.DRKG - drug repurposing knowledge graph for Covid-19[J]. <https://github.com/gnn4dr/DRKG/>,2020.
- [9] 刘知远,韩旭,孙茂松.知识图谱与深度学习[M].北京:清华大学出版社,2020:9.
- [10] Bordes A,Usunier N,Garcia-Duran A,et al.Translating embeddings for modeling multi-relational data[C]//Advances in Neural Information Processing Systems.Curran Associates, Inc.,2013,26.
<https://proceedings.neurips.cc/paper/2013/file/1cecc7a77928ca8133fa24680a88d2f9-Paper.pdf>.
- [11] Yang BS,Yih S,He XD,et al.Embedding entities and relations for learning and inference in knowledge bases[C]//Proceedings of ICLR.2015. <http://arxiv.org/abs/1412.6575>.
- [12] Trouillon T,Welbl J,Riedel S,et al.Complex embeddings for simple link prediction[C]//Proceedings of the 33rd International Conference on International Conference on Machine Learning.JMLR.org,2016,48:2071-2080. <https://arxiv.org/abs/1606.06357>.
- [13] Sun ZQ,Deng ZH,Nie JY, et al. RotatE: knowledge graph embedding by relational rotation in complex space[C]//Proceedings of ICLR. 2019. <https://openreview.net/forum?id=HkgEQnRqYQ>.
- [14] Zeng XX,Song X,Ma TF,et al.Repurpose open data to discover therapeutics for COVID-19 using deep learning[J].Journal of proteome research,2020,19(11):4624-4636.
<https://doi.org/10.1021/acs.jproteome.0c00316>.
- [15] Zhang R,Hristovski D,Schutte D,et al.Drug repurposing for COVID-19 via knowledge graph completion[J].Journal of Biomedical Informatics,2021,115(1):103696.
<https://doi.org/10.1016/j.jbi.2021.103696>.
- [16] 李宗贤.基于知识图谱的帕金森病药物重定位[J].信息技术与信息
化,2022,No.268(07):28-32. <https://doi.org/10.3969/j.issn.1672-9528.2022.07.006>.
- [17] Maaten LVD,Hinton G.Visualizing data using t-SNE[J].Journal of Machine Learning Research,2008,9(86):2579-2605. <http://jmlr.org/papers/v9/vandermaaten08a.html>.
- [18] Zheng Da,Song X,Ma C,et al.DGL-KE: training knowledge graph embeddings at scale[C]//Proceedings of the 43rd International ACM SIGIR Conference on Research and Development in Information Retrieval.New York, NY, USA:Association for Computing Machinery,2020:739–748. <https://arxiv.org/abs/2004.08532>.
- [19] Huang CW,Rust NC,Wu HF,et al.Altered O-GlcNAcylation and mitochondrial dysfunction, a molecular link between brain glucose dysregulation and sporadic Alzheimer's disease[J].Neural regeneration research,2023,18(4):779-783. <https://doi.org/10.4103/1673-5374.354515>.

- [20] Sliwinska S,Jeziorek M.The role of nutrition in Alzheimer's disease[J].Roczniki Panstwowego Zakladu Higieny,2021,72(1):29-39. <https://doi.org/10.32394/rpzh.2021.0154>.
- [21] Zu GX,Sun KY,Li L,et al.Mechanism of quercetin therapeutic targets for Alzheimer disease and type 2 diabetes mellitus[J].Scientific reports,2021,11(1):22959. <https://doi.org/10.1038/s41598-021-02248-5>.
- [22] Sahab-Negah S,Hajali V,Moradi HR,et al.The impact of estradiol on neurogenesis and cognitive functions in Alzheimer's disease[J]. Cellular and molecular neurobiology,2020,40(3):283-299. <https://doi.org/10.1007/s10571-019-00733-0>.
- [23] Ahmed HA,Ismael S,Mirzahosseini G,et al.Verapamil Prevents Development of Cognitive Impairment in an Aged Mouse Model of Sporadic Alzheimer's Disease[J]. Molecular Neurobiology,2021,58(7):3374–3387. <https://doi.org/10.1007/s12035-021-02350-9>.
- [24] Choi Y,Jeong HJ,Liu QF,et al.Clozapine Improves Memory Impairment and Reduces A β Level in the Tg-APPswe/PS1dE9 Mouse Model of Alzheimer's Disease[J]. Molecular Neurobiology,2017,54(1):450–460. <https://doi.org/10.1007/s12035-015-9636-x>.
- [25] Bianchi VE.Impact of Testosterone on Alzheimer's Disease[J]. World Journal of Nens Health,2022,40(2):243-256. <https://doi.org/10.5534/wjmh.210175>.
- [26] Lindbohm JV,Mars N,Sipilae, PN,et al.Immune system-wide Mendelian randomization and triangulation analyses support autoimmunity as a modifiable component in dementia-causing diseases[J].nature aging,2022,2(10):956–972. <https://doi.org/10.1038/s43587-022-00293-x>.
- [27] Pasierski M,Szulczyk B.Beneficial effects of capsaicin in disorders of the central nervous system[J].Molecules,2022,27(8):2484. <https://doi.org/10.3390/molecules27082484>.
- [28] Koppel J,Jimenez H,Adrien L,et al.Haloperidol inactivates AMPK and reduces tau phosphorylation in a tau mouse model of Alzheimer's disease[J].Alzheimer's & dementia,2016,2(2):121-130. <https://doi.org/10.1016/j.trci.2016.05.003>.
- [29] Lehrer S,Rheinstein PH.Transspinal delivery of drugs by transdermal patch back-of-neck for Alzheimer's disease: a new route of administration[J]. Discovery Medicine,2019,27(146):37-43.
- [30] Baraka A,ElGhotny S.Study of the effect of inhibiting galanin in Alzheimer's disease induced in rats[J].European Journal of Pharmacology,2010,641(2):123-127. <https://doi.org/10.1016/j.ejphar.2010.05.030>.
- [31] Ai PH,Chen S,Liu XD,et al.Paroxetine ameliorates prodromal emotional dysfunction and late-onset memory deficit in Alzheimer's disease mice[J].Translational Neurodegeneration,2020,9(1):18. <https://doi.org/10.1186/s40035-020-00194-2>.
- [32] Walke GR,Rapole S,Kulkarni PP.Cisplatin inhibits the formation of a reactive intermediate during copper-catalyzed oxidation of amyloid β peptide[J].Inorganic Chemistry,2014,53(19):10003-10005. <https://doi.org/10.1021/ic5007764>.